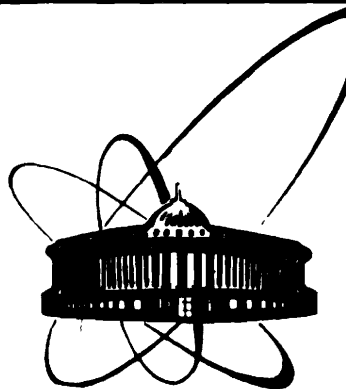


10 коп.

88. 300



объединенный  
институт  
ядерных  
исследований  
дубна

P1-88-300

МЕДЛЕННЫЙ ВЫВОД УСКОРЕННОГО ПУЧКА  
С ЭНЕРГИЕЙ 20 ТэВ  
ИЗ СВЕРХПРОВОДЯЩЕГО СУПЕРКОЛЛАЙДЕРА  
С ПОМОЩЬЮ ИЗОГНУТОГО КРИСТАЛЛА

Редактор Б.Б.Колесова. Макет Т.Е.Попеко.  
Набор И.П.Трусовой.

Подписано в печать 26.05.88.  
Формат 60x90/16. Офсетная печать. Уч.-изд.листов 0,68.  
Тираж 490. Заказ 40605.

Издательский отдел Объединенного института ядерных исследований.  
Дубна Московской области.

Направлено в Оргкомитет XVIII Совещания  
по физике взаимодействий заряженных частиц  
с кристаллами, Москва, 1988 г.

1988

А.С.Водопьянов, В.Врба, Н.И.Зимин, А.И.Зинченко, Р.Б.Кадыров,  
В.Н.Поздняков, В.Н.Рыжов, А.Б.Садовский, Ц.Спасов, В.Г.Тимофеев,  
И.А.Тяпкин, Н.А.Филатова, Э.Н.Цыганов

Объединенный институт ядерных исследований, Дубна

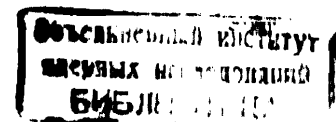
Д.Г.Кошкарев, И.В.Рудской, А.Н.Талызин, Ю.Н.Чеблуков  
Институт теоретической и экспериментальной физики, Москва

Как известно, в США принято решение о создании сверхпроводящего суперколлайдера (ССК) с энергией пучков  $20 \times 20$  ТэВ. Проектирование было начато в 1982 году. В 1986 году закончено создание предварительного проекта<sup>/1/</sup>, в котором уточнены все технические детали и показана принципиальная возможность постройки такой машины. В 1989 году, после того, как правительство США примет решение о месте строительства, начнется техническая реализация проекта. По предварительным оценкам, ускоритель начнет работать на физический эксперимент в 1996 году.

Участие физиков ОИЯИ и СССР в исследованиях на этом ускорителе было бы весьма полезным. Физики ОИЯИ и СССР могли бы войти в совместные работы на ССК с заметным интеллектуальным вкладом, предложив организовать на ССК медленный вывод ускоренного пучка с помощью кристаллического септума и дальнейшую разводку выведенного пучка также с помощью изогнутых кристаллов. Предварительный проект коллайдера не предусматривает организацию медленного вывода пучков с энергией до 20 ТэВ вследствие его технической сложности. Однако на последних совещаниях по ССК неоднократно высказывалась настоятельная необходимость организации таких пучков для проведения тестовых и методических исследований<sup>/2,3/</sup>.

После предсказания эффекта отклонения пучков заряженных частиц с помощью изогнутых кристаллов<sup>/4/</sup> на синхрофазотроне ОИЯИ была выполнена пионерская работа<sup>/5/</sup>, в которой впервые продемонстрирована возможность управления пучками заряженных частиц с помощью изогнутых кристаллов. Чуть позже этой же группой авторов осуществлен медленный вывод ускоренного пучка из синхрофазотрона<sup>/6/</sup>, чем была доказана возможность технического применения открытого явления. Нужно отметить, что первоначальная идея использования изогнутого кристалла в качестве септума для вывода частиц из ускорителя высказана в работе<sup>/7/</sup>. Позднее существование этого явления было подтверждено на ускорителях ЦЕРН<sup>/8/</sup>, ЛИЯФ<sup>/9/</sup> и ФНАЛ<sup>/10/</sup>. Во ФНАЛ<sup>/10/</sup> и, несколько позже, в ЛВЭ ОИЯИ<sup>/11/</sup> и ИФВЭ<sup>/12/</sup> осуществлена разводка пучков с помощью изогнутого кристалла.

В данной работе предлагается осуществление медленного вывода 20-Тэвного пучка из ССК. В общих чертах эти идеи высказывались в работе<sup>/3/</sup>.



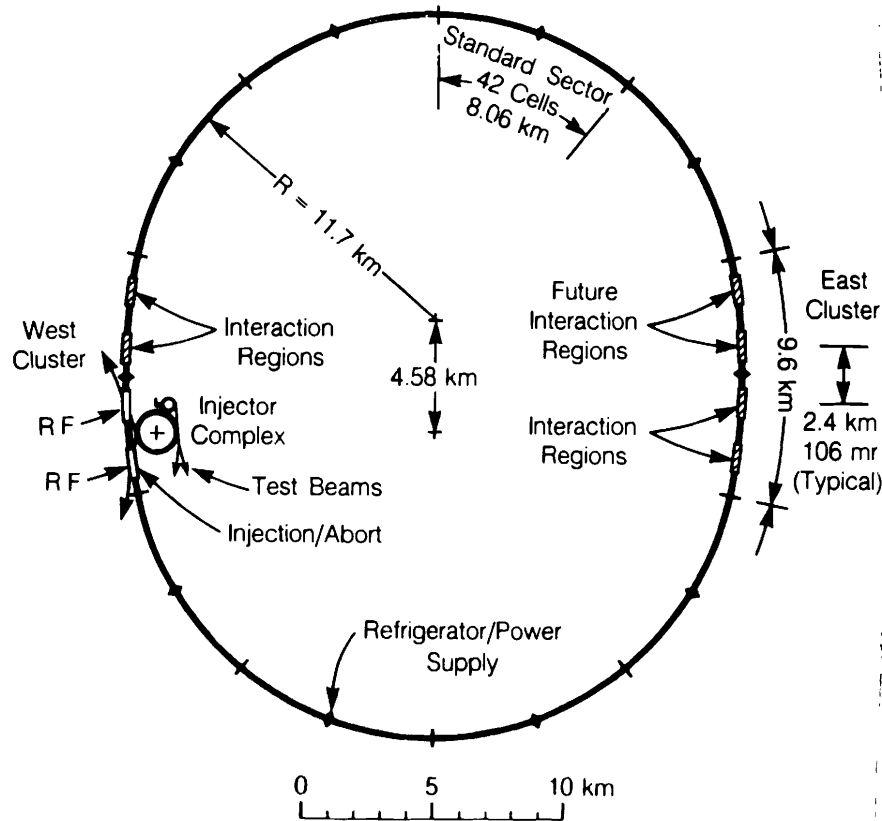


Рис. 1. Общая схема коллайдера ССК<sup>1/</sup>.

На рис. 1 приведена общая схема коллайдера ССК. Коллайдер состоит из двух накопительных колец, расположенных один над другим. Расстояние между медианными плоскостями двух колец (по вертикали) составляет 70 см. Комплекс включает в себя два полукольца с радиусом 11,7 км и два кластера — восточный и западный. Восточный кластер будет иметь четыре места пересечения пучков и полностью отводится под физические установки. Половина западного кластера, имеющая две точки пересечения, также отводится под экспериментальные установки. Другая половина западного кластера используется под инъекционный комплекс.

Здесь же располагаются ускоряющие станции обоих ускорителей, а также системы аварийного сброса пучков. Эта часть западного кластера называется зоной собственного обеспечения коллайдера. Схема зоны собственного обеспечения представлена на рис. 2. Зона имеет два участка

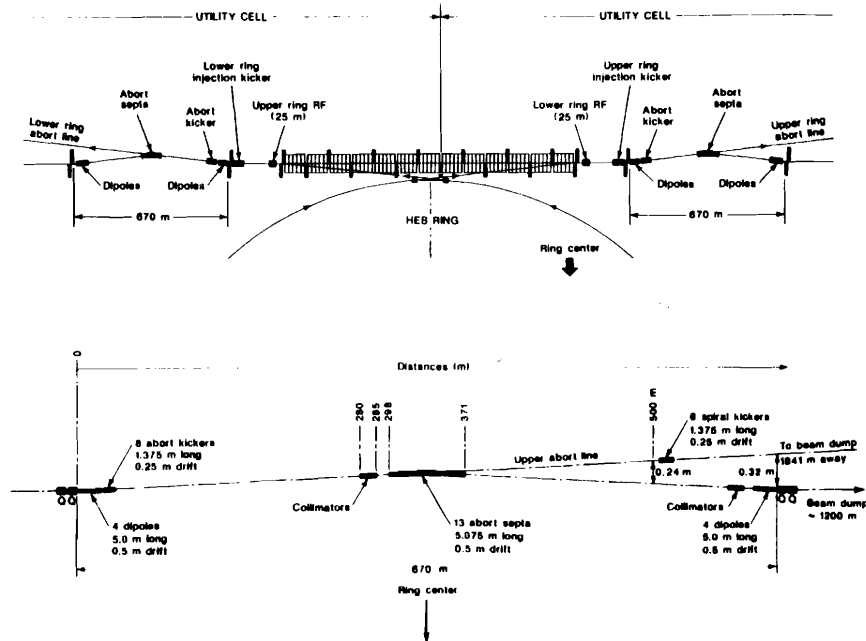


Рис. 2. Схема зоны собственного обеспечения ССК<sup>1/</sup>.

длиной по 670 м, на которых циркулирующие пучки претерпевают тройной излом в горизонтальной плоскости и отклоняются при этом на 0,16 м от прямолинейной траектории. Это позволяет при необходимости произвести быстрый аварийный сброс пучков и исключает попадание сброшенного пучка на холодные части магнитов. Верхний пучок, циркулирующий по часовой стрелке, сбрасывается на правом участке, нижний, циркулирующий против часовой стрелки, сбрасывается на левом участке. Излом пучков на угол около 0,6 мрад и обратно обеспечивают дипольные магниты, стоящие в начале и конце 670-метровых участков (по 4 шт. на каждом конце), а также двуххапертурные синггуммагниты Ламбертсона, расположенные в центре указанных участков (по 13 шт. на каждом). В нормальном режиме циркуляции пучки проходят через активные апертуры магнитов Ламбертсона, отклоняясь на необходимый угол, как в обычных диполях. Аварийный сброс пучка осуществляется при помощи кикер-магнита, который отклоняет пучок в вертикальной плоскости на угол около 96 мкрад и направляет его в пассивную апертуру магнита Ламбертсона, свободную от магнитного поля.

Медленный вывод 20-ГэВного пучка из ССК с помощью изогнутого кристалла можно осуществить на одном из участков аварийного сброса.

На рис. 3 показан участок аварийного сброса для нижнего пучка. По проекту верхний пучок проходит на этом участке без отклонений. Если на этом же участке установить дополнительные дипольные магниты и магниты Ламбертсона (на рис. 3 показаны тонкими линиями) и преломить верхний пучок аналогично нижнему, то в этом месте можно организовать медленный вывод, отбирая кристаллическим септумом часть частиц из гало основного пучка. Угол изгиба кристалла должен быть равен 95 мкрад. Кристалл должен отклонять частицы в вертикальной плоскости, направляя их в пассивную апертуру дополнительных магнитов Ламбертсона. Место расположения кристалла относительно магнитных элементов должно быть аналогичным месту расположения кикер-магнита аварийного сброса. Предполагается использовать кристалл кремния, ориентированный плоскостью (111) параллельно пучку.

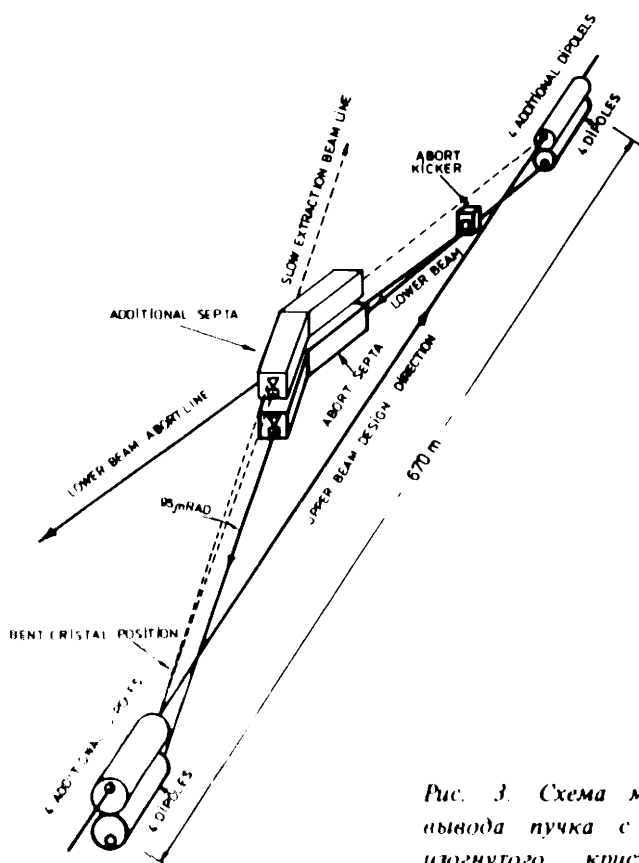


Рис. 3. Схема медленного вывода пучка с помощью изогнутого кристалла на участке аварийного сброса.

Наобходимо отметить, что использование традиционной схемы медленного вывода из ССК представляет собой чрезвычайно трудную и дорогостоящую техническую проблему.

Оценим эффективность вывода пучка кристаллическим септумом, которая зависит от величины критического угла канализации, угловой расходимости пучка и эффекта деканализирования. Величина критического угла плоскостного канализования для плоскости (111) кристалла кремния при энергии протонов 20 ТэВ составляет около 1,6 мкрад.

Угловая расходимость пучка в предполагаемом месте вывода составляет около 0,14 мкрад, что удовлетворяет условиям практически полного захвата частиц в режиме канализации. При этом мы предполагаем, что эффективность захвата параллельного пучка в режиме плоскостного канализования при этих энергиях близка к единице. Размеры гало пучка (~1 мм) существенно меньше размеров кристаллического септума и не ухудшают эффективности вывода.

Длина деканализирования в кристалле кремния при энергии 20 ТэВ составляет около 14 м, т.е. эффектом обычного деканализирования можно пренебречь. Таким образом, эффективность вывода будет ограничиваться в основном величиной так называемого центробежного деканализирования<sup>/13/</sup>. Оценки показывают, что при радиусе изгиба кристалла 500 м центробежное деканализирование составит около 6%<sup>/14/</sup>. При этом для отклонения пучка на угол 95 мкрад необходимо использовать кристалл длиной около 5 см. Нужно отметить, что мозаичность кристалла должна быть существенно меньше критического угла канализации. Необходимо использовать кристаллы с малым количеством дислокаций.

Проектное значение времени жизни пучка в ССК составляет около 24 ч (~ $10^5$  с). Если выводить из ССК  $10^7$  протонов в секунду, что вполне достаточно для проведения многих методических и физических исследований, то общее число частиц, выведенных из машины, будет равно  $N = 10^7 \times 10^5 = 10^{12}$ , что составит около 1% по отношению к общей интенсивности частиц в ускорителе.

Заброс пучка на кристалл (генерация гало), по-видимому, будет в основном определяться упругим и квазиупругим pp-рассеянием в местах встречи пучков, и по оценкам, приведенным в работе<sup>/3/</sup>, составит за сутки несколько десятых долей процента от полной интенсивности пучка, что соответствует потребностям физиков. Координатный заброс в кристалл при этом составит доли миллиметра, что является вполне приемлемой величиной.

Гониометрическое устройство, обеспечивающее угловую юстировку кристалла с точностью около  $10^{-7}$ , вполне технически осуществимо<sup>/15/</sup>.

В заключение авторы хотели бы выразить благодарность Т.Туигу за полезные обсуждения.

## ЛИТЕРАТУРА

1. *Conceptual Design of the SSC, Washington, 1986.*
2. Sun C.R., Carrigan R.A. (Jr), Toohig T.E., Neuffer D. *Proceedings of the 1984 Summer Study on the Design and Utilization of the SSC, Snowmass, Colorado, 1984, p.483.*
3. Harrison M., Toohig T. *Proceedings of the 1986 Summer Study on the Physics of the SSC, Snowmass, Colorado, 1986, p.534.*
4. Tsyganov E.N. *Fermilab TM-682, TM-684, 1976.*
5. Elishev A.F. et al. – *Phys. Lett.*, 1979, 88B, p.387.
6. Авдейчиков В.В. и др. *Краткие сообщения ОИЯИ №1, 1984, с.3.*
7. Кошарев Д.Г. Препринт ИТЭФ-30, 1977, Москва.
8. Bak J. et al. – *Phys. Lett.*, 1980, 93B, p.505.
9. Андреев В.А. и др. Препринт ЛИЯФ №792, 1982.
10. Baker S.I. et al. – *Phys. Lett.*, 1984, 173B, p.129.  
Baker S.I. et al. *Fermilab 84/45-E, 1984.*
11. Бельзер Л.И. и др. Препринт ОИЯИ Р1-87-653, Дубна, 1987.  
Бельзер Л.И. и др. Препринт ОИЯИ Р1-87-654, Дубна, 1987.
12. Афонин А.Г. и др. Препринт ИФВЭ 87-121, Серпухов, 1987.  
Бавижев М.Д. и др. Препринт ИФВЭ 87-148, Серпухов, 1987.
13. Булгаков Н.К. и др. Сообщение ОИЯИ 1-83-725, Дубна, 1983.  
Carrigan R.A. (Jr) et al. – *NIM*, 1982, v.194, p.205.
14. Ellison J.E. – *Nucl. Phys.*, 1982, B206, p.205.
15. Наумов И.В. и др. *ПТС*, 1984, №4, с.245.

Рукопись поступила в издательский отдел  
4 мая 1988 года.

## ТЕМАТИЧЕСКИЕ КАТЕГОРИИ ПУБЛИКАЦИЙ ОБЪЕДИНЕННОГО ИНСТИТУТА ЯДЕРНЫХ ИССЛЕДОВАНИЙ

Индекс	Тематика
1.	Экспериментальная физика высоких энергий
2.	Теоретическая физика высоких энергий
3.	Экспериментальная нейтронная физика
4.	Теоретическая физика низких энергий
5.	Математика
6.	Ядерная спектроскопия и радиохимия
7.	Физика тяжелых ионов
8.	Криогенника
9.	Ускорители
10.	Автоматизация обработки экспериментальных данных
11.	Вычислительная математика и техника
12.	Химия
13.	Техника физического эксперимента
14.	Исследования твердых тел и жидкостей ядерными методами
15.	Экспериментальная физика ядерных реакций при низких энергиях
16.	Дозиметрия и физика защиты
17.	Теория конденсированного состояния
18.	Использование результатов и методов фундаментальных физических исследований в смежных областях науки и техники
19.	Биофизика